

# 惑星地球科学2 (第3回目)

## 海洋+炭素循環と物質循環

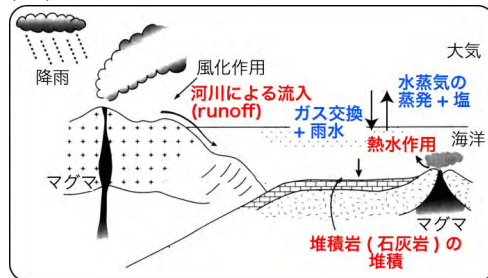
東京大学総合文化研究科：  
小宮 剛 准教授

2018/10/12

komiya@ea.c.u-tokyo.ac.jp

<http://www43.tok2.com/home/isua/>

### (1) 海洋：海洋への物質の流入・流出



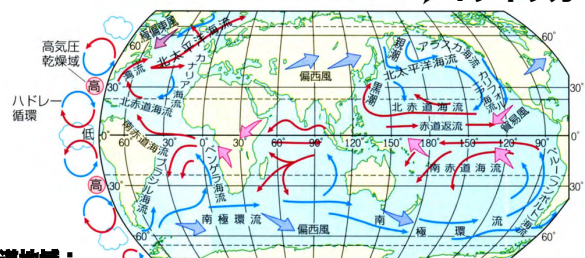
- (1) 大陸地殻(河川による)の流入(浸食・風化・運搬)
- (2) 中央海嶺における熱水変質作用
- (3) 堆積物(石灰岩・泥岩・チャート・Mnノジュール)の堆積
- (4) 大気とのガス交換や雨水による流入。蒸発

## 水循環



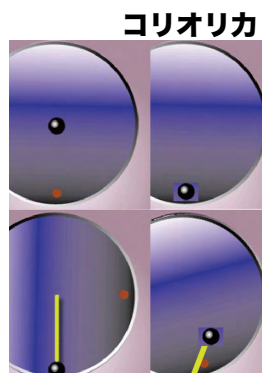
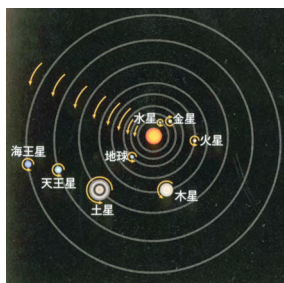
### 海洋の循環(2つのタイプがある)

②-1 海洋表面での循環(海流、風成循環: 深さ1000m位まで)  
自転方向 →コリオリカ

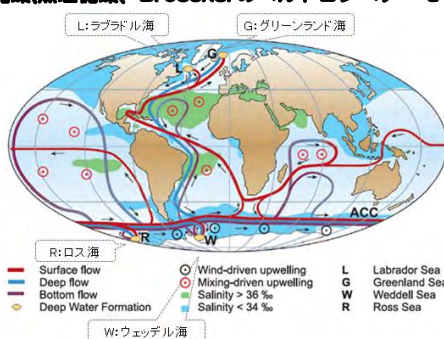


赤道地域：  
ハドレー循環～表面では北から南への空気の流れ+自転→貿易風  
中緯度地域～逆に南から北への流れ+自転→偏西風  
→風+暖かい海水が極域へ移動する→海流

### 海洋の循環(2つのタイプがある)

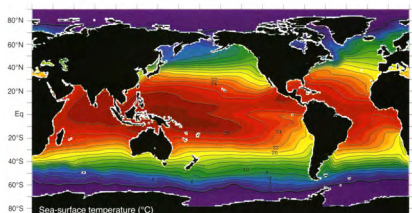


### ②-2 海洋大循環(熱塩循環、Broeckerのベルトコンベアーモデル)

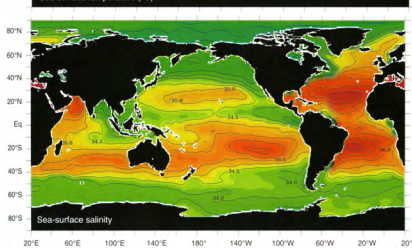


① Stommel(1961)によって提唱され、Broeckerによって海水の年代を $^{14}\text{C}$ を用いて測ることによって実証された。  
→最も古い年代は北太平洋深層水で約2000年(数千年規模で循環)

### ②-2A 海洋表面の温度分布



### ②-2B 海洋表面での塩分濃度分布



### ②-3A 海洋大循環(熱塩循環)の駆動力(密度による循環)

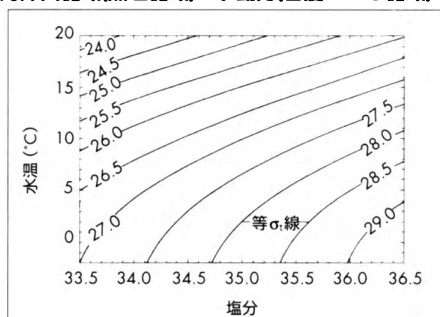


図 2.14 水温 ( $T$ )、塩分 ( $S$ )、密度の関係を示す  $T-S$  図

$\sigma$  (は密度-1)  $\times 1000$

海水密度は温度と塩分濃度によってコントロール

### ③-1 湧昇域

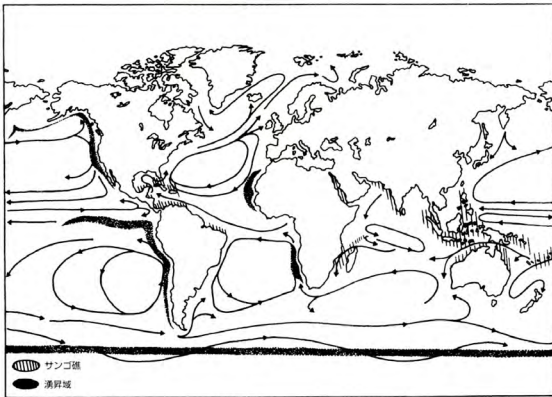
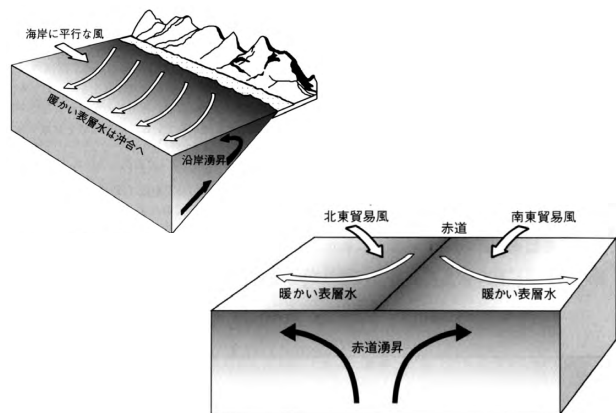
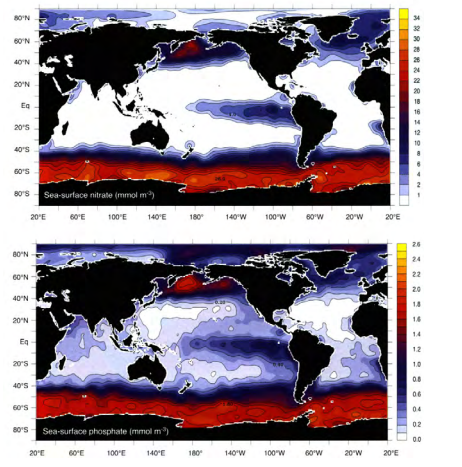


図 3.10 世界の海洋における湧昇域とサンゴ礁の分布

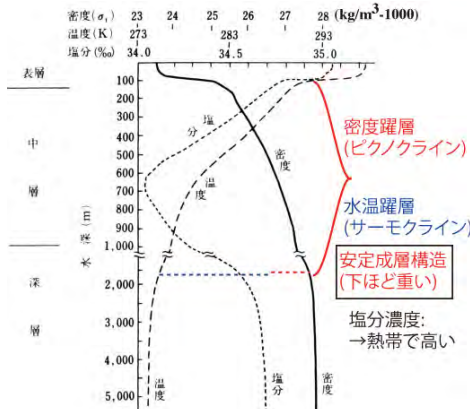
### ③-1 湧昇域



### ④ 海洋表層の栄養塩の濃度分布 2大重要栄養塩( $\text{NO}_3^-$ , P)



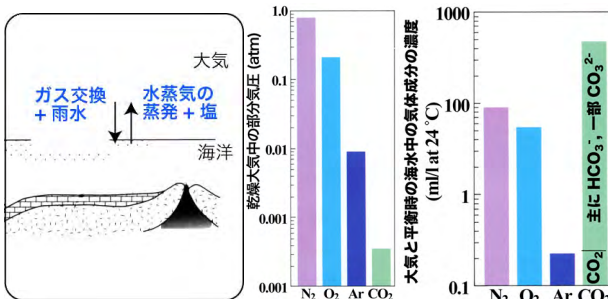
### ① 垂直構造



### (5) 溶存ガス -大気とのガス交換+雨水-

#### (1) 大気とのガス交換

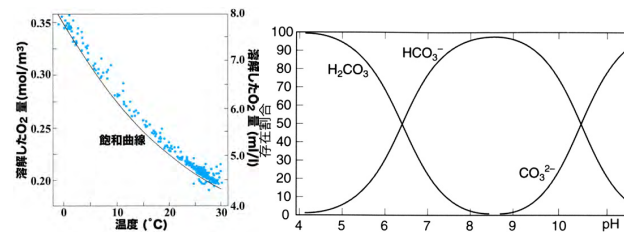
気体が液体に溶け込む量：ヘンリーの法則に則る



### (5) 溶存ガス -大気とのガス交換+雨水-

#### (1) 大気とのガス交換

気体が液体に溶け込む量：ヘンリーの法則に則る

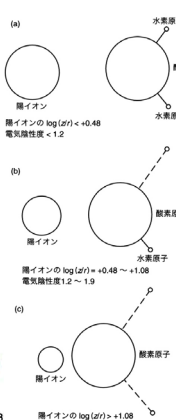
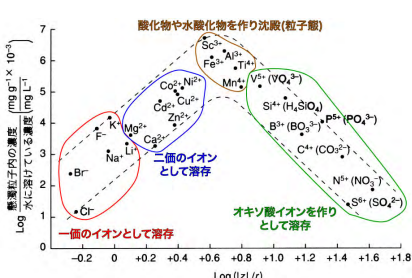


### 溶解元素

#### ① イオン(+錯体)、無機錯体や有機錯体

#### ② 粒子態

#### 有機物、水酸化物や酸化物等



#### 海水中の主なイオンの濃度と滞留時間

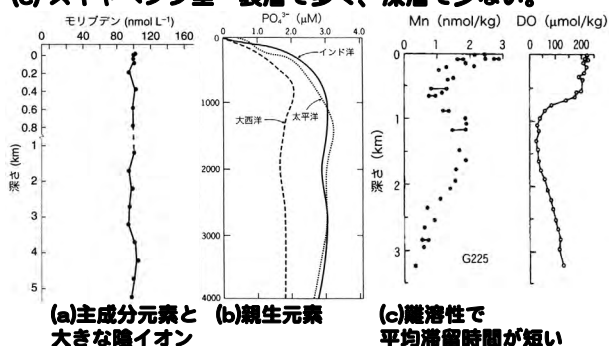
イオン	濃度 ( $\mu\text{M}$ )	滞留時間 (万年)
<b>豊富な元素</b>		
$\text{Cl}^-$	$5.6 \times 10^5$	9,000
$\text{Na}^+$	$4.8 \times 10^5$	6,000
$\text{Mg}^{2+}$	$5.5 \times 10^4$	1,000
$\text{SO}_4^{2-}$	$2.9 \times 10^4$	900
$\text{Ca}^{2+}$	$1.1 \times 10^4$	100
$\text{K}^+$	$1.0 \times 10^4$	1,000
$\text{Br}^-$	$8.6 \times 10^2$	10,000
$\text{B}(\text{OH})_3, \text{B}(\text{OH})^+$	$4.3 \times 10^2$	1,000
<b>栄養塩</b>		
$\text{Cu}(\text{HCO}_3^-, \text{CO}_3^{2-}, \text{CO}_2)$	$0.2 \sim 1 \times 10^{-3}$	0.05
$\text{Si(OH)}_4$	$0 \sim 3 \times 10^{-3}$	7
$\text{Fe}(\text{Fe(OH)})_3$	$0.5 \sim 6 \times 10^{-3}$	0.5
$\text{P}(\text{NaHPO}_4, \text{HPO}_4^{2-}, \text{MgHPO}_4)$	$0 \sim 0.18 \times 10^{-3}$	2
<b>不溶性</b>		
$\text{Mn}(\text{Mn}^{2+}, \text{MnCl}^-)$	$0.08 \sim 3 \times 10^{-3}$	0.006
$\text{Al}(\text{Al(OH)}_4, \text{AlO(OH)})$	$0 \sim 4 \times 10^{-2}$	0.02
<b>希土類</b>		
$\text{Ce}(\text{CeCO}_3^+, \text{Ce}^{4+}, \text{CeCl}^2+)$	$3 \sim 80 \times 10^{-6}$	0.01
$\text{Nd}(\text{NdCO}_3^+, \text{Nd}^{3+}, \text{NdSO}_4^+)$	$7 \sim 50 \times 10^{-6}$	0.06
<b>可溶性</b>		
(アルカリ・アルカリ土類) $\text{Sr}^{2+}, \text{Rb}^+$	91 1.4	5 300
<b>可溶性</b> (オキソ酸) $\text{MoO}_4^{2-}, \text{UO}_2(\text{CO}_3)^{3-}$	$1.07 \times 10^{-1}$ $1.4 \times 10^{-2}$	80 40

$$\text{平均滞留時間} (\tau) = (\text{海水中の全量 mol}) / (\text{流入量 mol/y})$$

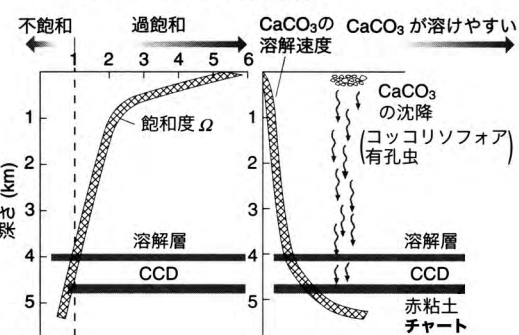
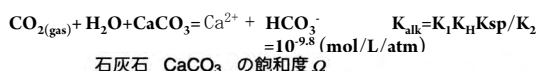
タイムスケール：熱塩循環(数千年), 海流(数ヶ月)

### ③ 海水組成の鉛直分布

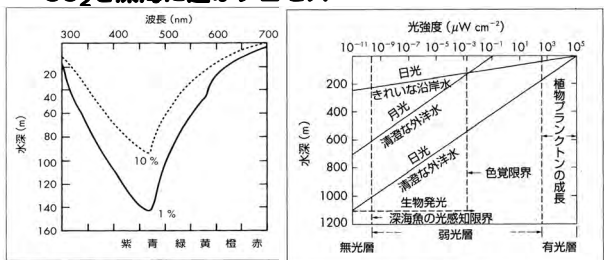
- (a) 保存性成分型 ~鉛直方向で濃度が変化しない
- (b) リサイクル型 ~表層が低く、深層で高い
- (c) スキャベンジ型~表層で多く、深層で少ない。



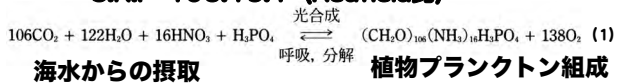
### ⑤ $\text{CaCO}_3$ の溶解と水深



### (9) 生物ポンプと物理(無機, アルカリ)ポンプ ~ $\text{CO}_2$ を深海に運ぶプロセス~



#### (1) 植物プランクトンの元素組成比 $\text{C:N:P}=106:16:1$ (Redfield比)



### ⑥ 生物ポンプと無機(物理, アルカリ)ポンプまとめ

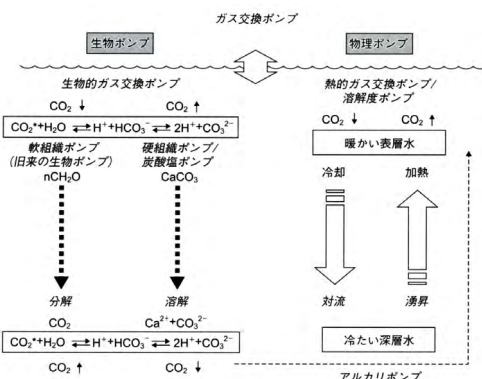
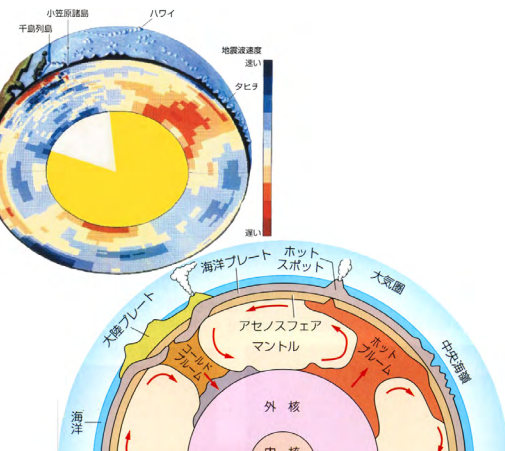
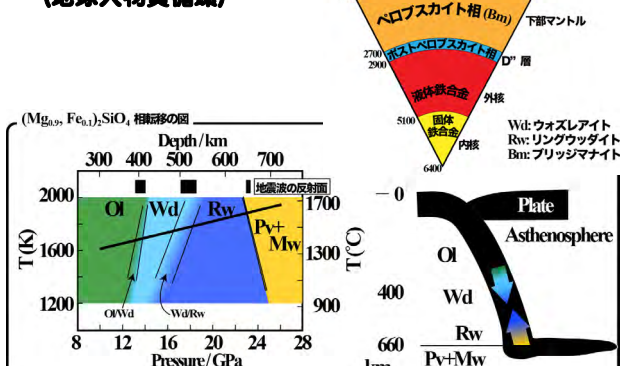


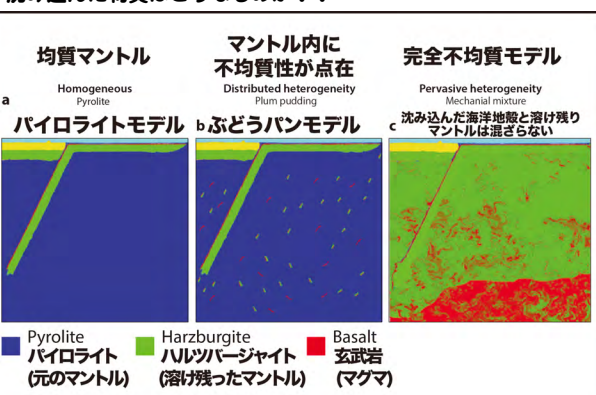
図 1.3.9 生物ポンプと物理ポンプのまとめ。



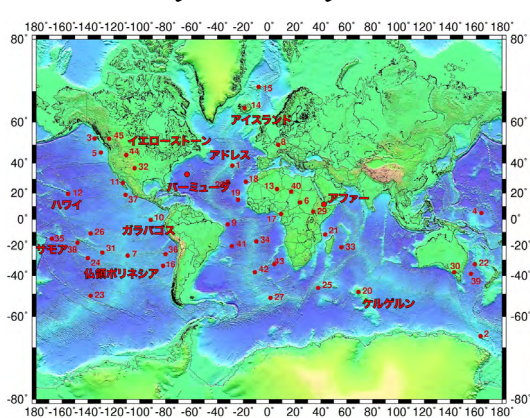
### 地球内部への物質循環 マントルダイナミクス (地球大物質循環)



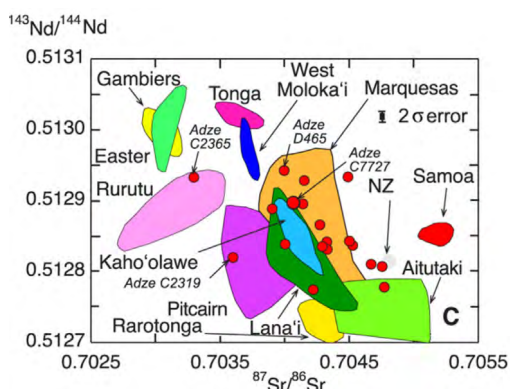
沈み込んだ物質はどうなるのか？



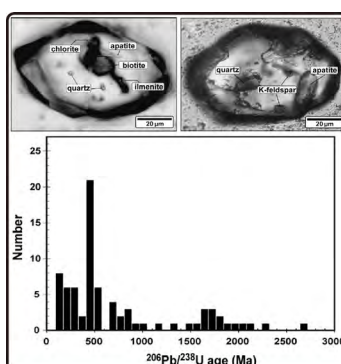
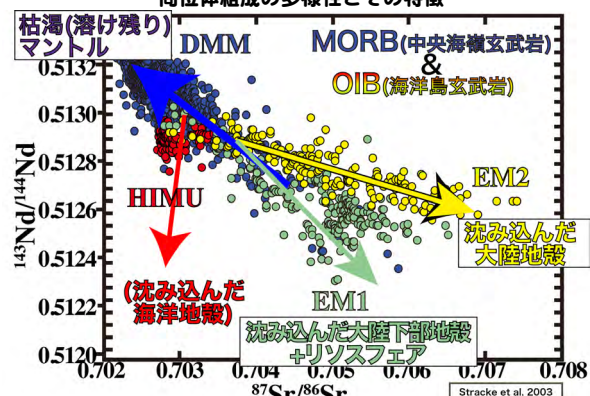
### ホットスポット



## ホットスポットのマグマの同位体組成



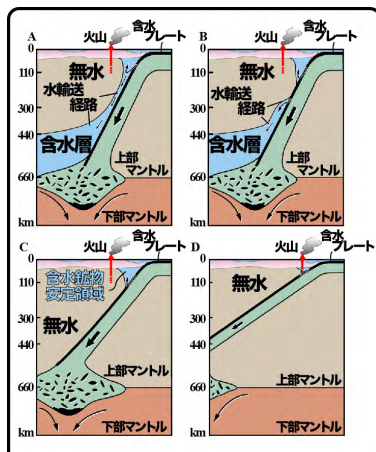
## 中央海嶺玄武岩とホットスポットマグマの同位体組成の多様性とその特徴



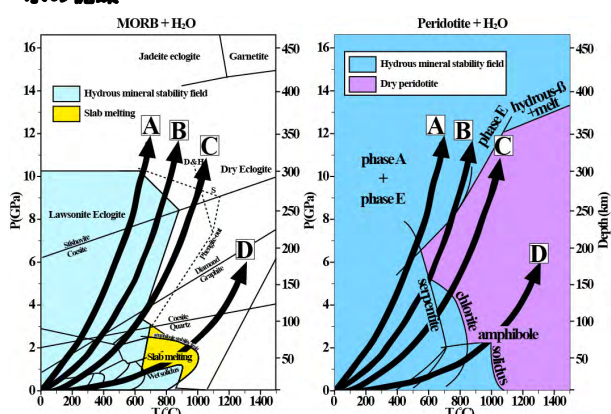
ホットスポットマグマ中に取り込まれたエクロジャイト捕獲岩中：沈み込んだ物質の記述（ソロモン諸島：マライタ島）

(F) Oz Cpx Grt 2 mm

## 水の循環

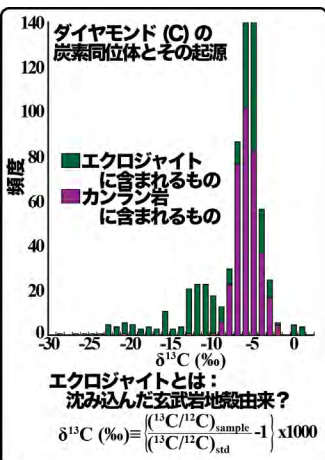


## 水の循環



## ダイヤモンドの炭素同位体

①エクロジャイト（沈み込んだ海洋地殻物質に伴う）型ダイヤモンドは生物起源（化石）？



## コア・マントル境界の物質学

